

## سطح مقطع های موج $s$ اتمهای $d\mu(1s)$ در گاز $H_2$ با ساده سازی پتانسیل مؤثر سه بعدی

قیصری، روح الله<sup>\*</sup>; رحیمی، ناهید؛ اسلامی زاده، هادی

گروه فیزیک، دانشکده علوم، دانشگاه خلیج فارس ۷۵۱۶۹، بوشهر

### چکیده

در این تحقیق سطح مقطع برخورد الاستیک اتم میونی ( $d\mu(1s)$ ) با هسته های گاز  $H_2$  تخمین زده می شود. با توجه به فرض مسئله سطح مقطع برخورد الاستیک آن دسته از اتم های میونی ورودی  $d\mu$  را مورد مطالعه قرار می دهیم، که با موج  $s$  توصیف می شوند. سطح مقطع برخورد اتم های فرودی را در انرژی های  $E = 0.01, 0.1 \text{ eV}$  همراه با شیفت فاز در پراکنده‌گی بحسب خواهیم آورد. برای اعتبار تئوری، اولین تراز انرژی مولکول  $pd\mu$  نیز با تعیین ثابت‌های موجود در پتانسیل مؤثر بحسب می آید. در برخورد الاستیک اتم میونی  $d\mu$  با هسته هیدروژن،تابع موج ذرات خروجی در فاصله‌ی زیاد می بایست با تابع موج کروی توصیف شوند. که ما این همپوشانی را از حل معادله شرودینگر نشان خواهیم داد.

## s-Wave Cross Sections of $d\mu(1s)$ in $H_2$ Gas by Using a Three Dimensional-Effective Potential Simplified

Gheisari, Rouhollah<sup>\*</sup>; Rahimi, Nahid; Eslamizadeh, Hadi

Physics Department, Persian Gulf University 75169, Bushehr

### Abstract

In this research, we estimate the elastic cross sections of  $d\mu(1s)$  atoms in  $H_2$  gas.  $s$ -wave cross sections are investigated. These quantities for atom-projectiles with  $E = 0.01, 0.1 \text{ eV}$  are obtained, as well as the phase shift. Also, the lowest state of  $pd\mu$  molecule is calculated, by substituting constant parameters in the effective potential. In the elastic collisions  $\mu d(1s) + p$ , out-going wave function overlaps with spherical wave function. We show this fact here.

PACS No.25

آنچه مورد مطالعه قرار می گیرد، واکنش الاستیک اتم میونی

مقدمه

$\mu d(1s)$  با هسته های  $p$  است.

بر طبق آنچه فرض کرده ایم، اتم های میونی  $\mu d$  اولیه دارای انرژی  $E \sim 10^{-2}, 10^{-1} \text{ eV}$  هستند. به دلیل اینکه موج  $s$  مورد بررسی قرار می گیرد، ذرات فرودی با انرژی مذکور فرض می شوند.

مطالعات و آزمایش های فراوانی روی برهمکنش اتم های میونی با ایزوتوبهای هیدروژن انجام شده است. یک دسته از مطالعات تئوریک روی برهمکنش های رابطه (۱) متمرکز شده است [۱ و ۲ و ۳].

$$(1) \quad \mu d(1s) + p \rightarrow pd\mu \rightarrow \mu d(1s) + p$$

شکل پتانسیل مورد مطالعه در این مقاله، از پتانسیل سه بعدی مطرح شده در مرجع [۱] استخراج می گردد. با انجام محاسبات و ساده سازی پارامتر های  $A_2'$ ,  $A_2$ ,  $\alpha'_2$ ,  $\beta'_2$ ,  $\beta_2$

مقادیر سطوح مقطع اتم های میونی در واکنش ها، در طراحی راکتورهای  $\mu CF$  و مطالعه ی لایه های نازک اهمیت دارند.

فاصله اتم  $\mu p$  از  $d$  است. با این قید که  $A_2 = A'_2 = \alpha'_2 \beta'_2$  و  $\alpha'_2, \beta'_2$  مجهولات  $A'_2, A_2, \alpha'_2, \beta'_2$  را طوری تعیین می‌کنیم، که پتانسیل شرایط مسئله را برآورده سازد. برای بدست آوردن انرژی پایین ترین تراز مولکول  $pdm$  با انتخاب  $\rho_2 \zeta = 1.5 \times \rho_1$  به پتانسیل مؤثر  $V(\rho_2)$  دست می‌یابیم. رابطه بین  $\rho_1$  و  $\rho_2$  طوری است، که پتانسیل مورد نظر شامل پایین ترین نقطه چاه پتانسیل سه بعدی (رابطه (۳)) باشد. با تعیین  $A'_2, A_2, \alpha'_2, \beta'_2$  و  $\alpha_2$  پایین ترین نقطه چاه در زیر سطح پایین ترین تراز انرژی مولکول  $pdm$  واقع می‌شود (شکل ۱) و از سوی دیگر با قرار دادن  $V(\rho_2)$  در معادله شرودینگر و به ازای  $l=0$  (موج  $s$ ، تابع موج  $y_2(\rho_2)$ ) را بدست می‌آوریم. تابع موج می‌بایست در محدوده ای که غیر صفر است، بهنجار شود. در این راستا با قید رابطه (۴) ضریب بهنجارش تابع موج را بدست می‌آوریم.

$$\int_0^{b_2} c_2^2 y_2(\rho_2)^2 \rho_2^2 d\rho_2 = 1 \quad (4)$$

$b_2 \approx 1.4 \times 10^{-12} \text{ cm}$  محدوده غیر صفر تابع موج و  $c_2$  ضریب بهنجارش است.

اگر بخواهیم سطح مقطع ها را در پراکندگی الاستیک  $\mu d(1s) + p$  بدست آوریم، با انتخاب  $\rho_1 \zeta \times 0.8 \times \rho_2$  پتانسیل مؤثر  $V(\rho_1)$  را طوری خواهیم داشت، که شامل پایین ترین نقطه چاه پتانسیل سه بعدی باشد. با اعمال پتانسیل مؤثر  $V(\rho_1)$  در معادله شرودینگر و حل آن به ازای انرژی های  $E \sim 10^{-2}, 10^{-1} \text{ eV}$  توابع موج مربوطه را در راستای جدید بدست می‌آوریم. تابع موج

$$g(\rho_1) = S \frac{\sin(k\rho_1 + \delta_o)}{(k\rho_1)} \quad (5)$$

بیانگر توابع موج کروی بعد از پراکندگی است. با قرار دادن محدوده انرژی مذکور در رابطه (۶) می‌توان عدد موج  $k$  را بدست آورد.

$$E = \frac{\hbar^2 k^2}{2m}, m = \frac{m_1(m_2 + m_3)}{m_1 + m_2 + m_3} \quad (6)$$

به ازای  $\rho_1$  های بزرگ می‌بایست تابع موج حاصل از حل معادله شرودینگر از تابع موج کروی پیروی کند. نتایج کار در شکل ۳

و  $\alpha_2$  [۱] را طوری تعیین می‌کنیم که در نهایت پتانسیل مورد نظر، شرایط مسئله را برآورده کند.

### روش کار

در مرجع [۱] پتانسیل مؤثر بر حسب مختصات ژاکوبی به صورت زیر بیان شده است.

$$\begin{aligned} \vec{V}^{k,j}(\rho_k, \rho_j) = & \frac{e^2}{\zeta_j} \int_{|\zeta_j \rho_j - \rho_k|}^{\zeta_j \rho_j + \rho_k} \exp[-\alpha_{j3} r_{j3}(x)] \\ & \times \left( -\frac{1}{r_{j3}(x)} + \frac{1}{r_{jk}(x)} \right) \exp\left(-\frac{\alpha_{k3}}{\gamma} x\right) \\ & \times [A'_j \exp\left(-\left|\frac{\beta'_j}{\gamma} \vec{x} + \beta_j \vec{\rho}_j\right|\right) \\ & + A_j \exp\left(-\left|\frac{\alpha'_j}{\gamma} \vec{x} + \alpha_j \vec{\rho}_j\right|\right)] dx \quad (2) \end{aligned}$$

در این کار با ساده سازی تحلیلی و انتخاب  $k = 1$  و  $j = 2$ ، شکل پتانسیل را به پتانسیل سه بعدی زیر تبدیل می‌کنیم.

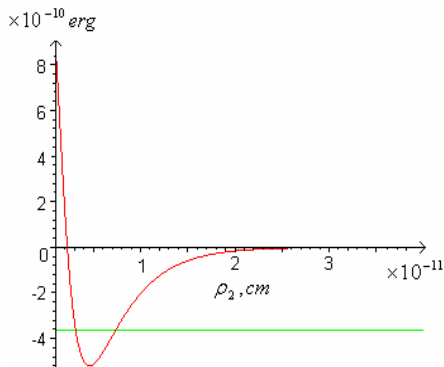
$$\begin{aligned} V^{1,2}(\rho_1, \rho_2) = & \frac{e^2}{\zeta_2} \int_{|\zeta_2 \rho_2 - \rho_1|}^{\zeta_2 \rho_2 + \rho_1} e^{-\frac{\alpha_{23}((\zeta_1 \zeta_2 - 1)\frac{\zeta_1}{\zeta_2} \rho_1^2 + \frac{\zeta_1}{\zeta_2} x^2 + (1 - \zeta_2 \zeta_1) \rho_2^2)^{1/2}}{\gamma}} \times \\ & \left( -\frac{\gamma}{((\zeta_1 \zeta_2 - 1)\frac{\zeta_1}{\zeta_2} \rho_1^2 + \frac{\zeta_1}{\zeta_2} x^2 + (1 - \zeta_2 \zeta_1) \rho_2^2)^{1/2}} + \right. \\ & \left. \frac{\gamma}{(((\zeta_1 \zeta_2 - 1)\frac{\zeta_1}{\zeta_2} \rho_1^2 + \frac{\zeta_1}{\zeta_2} x^2 + (1 - \zeta_2 \zeta_1) \rho_2^2)^{1/2})^2} \right) \\ & \times e^{-\frac{\alpha'_{13} x}{\gamma}} [A'_2 \exp\left(-\left(\frac{\zeta_2 \beta'_2}{\gamma} + \beta_2\right)^2 - \frac{\zeta_2 \beta'_2 (\zeta_2 \beta'_2 + \beta_2)}{\gamma} \rho_2^2 + \right. \\ & \left. \left( \frac{\beta'^2_2}{\gamma^2} - \frac{\beta'_2}{\gamma \zeta_2} (\zeta_2 \beta'_2 + \beta_2) \right) \rho_1^2 + \frac{\beta'_2}{\gamma \zeta_2} (\zeta_2 \beta'_2 + \beta_2) x^2 \right)^{1/2} \\ & + A_2 \exp\left(-\left(\frac{\zeta_2 \alpha'_2}{\gamma} + \alpha_2\right)^2 - \frac{\zeta_2 \alpha'_2 (\zeta_2 \alpha'_2 + \alpha_2)}{\gamma} \rho_2^2 + \right. \\ & \left. \left( \frac{\alpha'^2_2}{\gamma^2} - \frac{\alpha'_2}{\gamma \zeta_2} (\zeta_2 \alpha'_2 + \alpha_2) \right) \rho_1^2 + \frac{\alpha'_2}{\gamma \zeta_2} (\zeta_2 \alpha'_2 + \alpha_2) x^2 \right)^{1/2}] dx \quad (3) \end{aligned}$$

در پتانسیل رابطه (۳)، ثابت های  $\zeta_1, \zeta_2 = \frac{m_2}{m_2 + m_3}$ ،

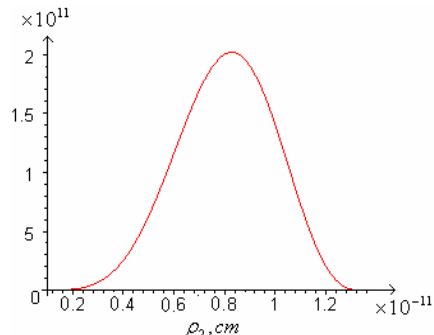
$$\alpha_{23} = 3.7 \times 10^{10} \text{ cm}, \gamma = 1 - \zeta_1 \zeta_2 = \frac{m_1}{m_1 + m_3}$$

ثابت پلانک و مقدار بار الکترون را جایگزین می‌کنیم.  $m_1$  و  $m_2$  به ترتیب جرم های مربوط به هسته های پروتون و دوترون و  $m_3$  معرف جرم میون است.  $\rho_1$  فاصله اتم  $\mu d$  از  $\rho_2$  و  $p$

گرفتیم و سطح مقطع های موج  $\delta$  را با دقت خوبی نزدیک به سطح مقطع های برآورده شده از مرجع [۵] به دست آوردیم. به ازای انرژی  $0.01eV$  و  $\delta_0 = 0.034$  خطای محاسبه در سطح مقطع با مقدار برآورده شده در مرجع [۵]،  $8.80$  درصد و به ازای انرژی  $0.1eV$  و  $\delta_0 = 0.039$  خطای محاسبه شده در سطح مقطع  $7.33$  درصد است. در آخر اشاره می کنیم که، محاسبه انتگرال مربوط به پتانسیل ها به روش سیمپسون [۶] و حل معادله شرودینگر به روش روسن-بروک [۷ و ۸] انجام گرفته است.



شکل ۱: پتانسیل مؤثر  $V(\rho_2)$  و پایین ترین تراز انرژی مولکولی  $pd\mu$ .



شکل ۲: توان دوم تابع موج بهنجار شده،  $c_2^2 \rho_2^2 y_2^2(\rho_2)$ ، حاصل از حل معادله شرودینگر با پتانسیل  $V(\rho_2)$  برای پایین ترین تراز مولکولی  $pd\mu$ .

نشان داده شده است. می بایست مجموع انتگرال توان دوم دو تابع موج  $(\rho_1)g$  و  $(\rho_1)y_1$  برابر با یک باشد.

$$\int_0^{d_1} c_1^2 y_1(\rho_1)^2 \rho_1^2 d\rho_1 + \int_{d_1}^{\infty} g(\rho_1)^2 \rho_1^2 d\rho_1 = 1 \quad (v)$$

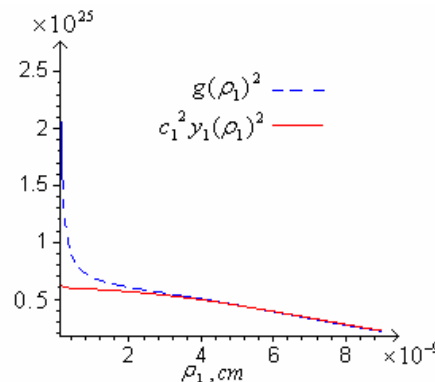
$c_1$  ضریب بهنجارش تابع موج  $y_1(\rho_1)$  و  $d_1$  تا بینهایت محدوده‌ی همپوشانی دو تابع است که بسته به مقدار انرژی وارد شده در معادله شرودینگر مقادیر متفاوتی خواهد داشت. با تعیین ثابت  $S$ ،  $\delta_0$  در موج کروی و ضریب بهنجارش  $c_1$ ، شرایط بیان شده در بالا را به ازای انرژی‌های داده شده فراهم کرده ایم. با وارد کردن مقادیر بدست آمده  $\delta_0$  (شیفت فاز در پراکندگی) و  $k$  در رابطه‌ی (۸) سطح مقطع های واکنش را به دست آورده و با مقادیر برآورده شده از مرجع [۵] مقایسه می‌نماییم.

$$\sigma_s^{el} = \frac{4\pi}{k^2} \sin \delta_0^2 \quad (8)$$

جدول ۱ نتایج حاصل از مقادیر سطح مقطع را نشان می‌دهد.

## بحث و نتیجه گیری

برای بدست آوردن تراز های مولکولی  $pdm\mu$  به کمک پتانسیل  $V(\rho_2)$ ، محاسبات انجام شد. ما توانستیم پایین ترین تراز را بدست آوریم. مقدار انرژی تراز مذکور  $E_2 \approx -226eV$  بدست آمد، که خطای محاسبات با مقدار انرژی گزارش شده در مرجع [۴]، "تقریباً" ۲ درصد است. توان دوم تابع موج بهنجار شده،  $(c_2^2 \rho_2^2 y_2^2(\rho_2))$ ، حاصل از حل معادله شرودینگر با اعمال پتانسیل  $V(\rho_2)$  دارای یک قله است (شکل ۲). این تابع موج در محدوده  $\rho_2 = b_2$  تا  $\rho_2 = 0$  اعتبار دارد. در واکنش الاستیک اتم میونی ( $1s$ ) با هسته های گاز  $H_2$ ، اتم های میونی با هسته ها برخورد و بسته به انرژی با ترکیبی از امواج  $s$ ،  $p$ ،  $d$  و غیره پراکنده می شود. تابع موج  $y_1(\rho_1)$  حاصل از حل معادله شرودینگر با اعمال  $V(\rho_1)$  در فاصله بین  $\rho_1 = 0$  تا  $\rho_1 = d_1$  اعتبار دارد. در فواصل دورتر تابع موج به صورت یک موج کروی رفتار می کند، بنابراین در فواصل خارج از این محدوده،  $(\rho_1)g$  موج ذره را توصیف می کند. در انرژی‌های  $E = 0.01, 0.1eV$  پراکندگی اتم ها با موج  $\delta$  قابل توصیف است. به همین علت انرژی اتم های ورودی را در این حدود



شکل ۳: همپوشانی توان دوم تابع موج،  $c_1^2 y_1^2(\rho_1)$  و تابع موج کروی در راهی بزرگ.

جدول ۱: سطح مقطع های پراکندگی الاستیک  $\mu d(1s) + p(eV) \times 10^{-18} \text{ cm}^2$

انرژی	این مقاله	[۵]
۰,۰۱	۰,۹۱۲	۱
۰,۱	۰,۱۱۷	۰,۱۰۹

## مرجع ها

- [۱] R. Gheisari; *Mol. Phys.* **107** (2009) 1685.
- [۲] R. A. Sultanov and S. K. Adhikari; *Phys. Rev. A* **61** (2000) 022711.
- [۳] R. A. Sultanov and D. Guster; *J. of Com. Phys.* **192** (2003) 231.
- [۴] V.E. Markushin; *Few-Body Systems Suppl.* **99** (1999) 1-10.
- [۵] M. C. Fujiwara; Ph.D. thesis, Uppsala University (1996).
- [۶] Bernard V. Liengme; "A Guide to Microsoft Excel for Scientists and Engineers", 2nd ed ", Woborn, MA (2000) 195.
- [۷] E. Hairer and G. Wanner; "Solving Ordinary Differential Equations II, 2nd ed"; Springer (1996).
- [۸] L.F. Shampine and R.M. Corless; "Initial Value Problems for ODEs in Problem Solving Environments"; *J. Comp. Appl. Math.*, **125** (2000) 31-40.